



## مطالعه تجربی ماشین‌کاری تخلیه الکتریکی به کمک پودر (PMEDM) بر روی ترکیب γ-TiAl

بهزاد جباری‌پور<sup>۱\*</sup>، نوید ملارمضانی<sup>۲</sup>، مهرداد مطلب‌پور علیشاهی<sup>۳</sup>

۱- استادیار، مهندسی مکانیک، دانشگاه آزاد اسلامی، واحد تهران مرکزی، تهران

۲- دانشجوی کارشناسی ارشد، مهندسی مکانیک، دانشگاه تربیت مدرس، تهران

۳- دانشجوی کارشناسی، مهندسی مکانیک، دانشگاه آزاد اسلامی واحد تهران مرکزی، تهران

\* تهران، صندوق پستی ۸۸۵۸۱، beh.jabbaripour@iauctb.ac.ir

### چکیده

ترکیب بین‌فلزی  $\gamma$ -TiAl به علت مزیت‌هایی همچون چگالی پایین، مدول الاستیسیته بالا، مقاومت زیاد در برابر اکسیداسیون، خوردگی، احتراق و استحکام کششی و خوشی مناسب در دمای بالا، در صنایع نظیر هواپیما، توربین‌سازی، موتورهای چت و اتومبیل‌سازی، مورد توجه قرار گرفته است. مطالعات بسیار اندک گزارش شده در زمینه ماشین‌کاری ترکیبات بین‌فلزی تیتانیوم آلومینیم داشته اند که ماشین‌کاری این دسته از مواد با روش‌های سنتی بسیار مشکل است. در این مورد، می‌توان از روش‌های غیرسنتی مانند ماشین‌کاری تخلیه الکتریکی (EDM) استفاده نمود. در این تحقیق با در نظر گرفتن یک سطح جریان و زمان روش‌نی پاس به عنوان پارامترهای اصلی ثابت، آزمایشات ماشین‌کاری تخلیه الکتریکی به کمک پودر آلومنیوم (PMEDM) به ارزی سطوح مختلف اندازه ذرات پودر و غلظت ذرات پودر در سیال دی‌الکتریک انجام می‌گردد تا مقدار غلظت و اندازه ذرات بهینه پودر با در نظر گرفتن مشخصات خروجی فرآیند مانند نخر برآمدبرداری، نخر سایش ابزار و زبری سطح ماشین‌کاری شده تعیین گردد. نتایج نشان می‌دهد که ماشین‌کاری تخلیه الکتریکی به کمک پودر آلومنیوم، در شرایط آزمایش شده و بهینه، منجر به افزایش ۶۸٪ نخر برآمدبرداری، کاهش ۴۵٪ زبری سطح و کاهش ۶۷٪ نخر سایش ابزار نسبت به حالت بدون پودر شده است.

کلید واژگان: ماشین‌کاری تخلیه الکتریکی، پودر،  $\gamma$ -TiAl، نخر برآمدبرداری، نخر سایش ابزار

## Experimental investigation of powder mixed electrical discharge machining (PMEDM) on intermetallic compound $\gamma$ -TiAl

Behzad Jabbaripour<sup>1\*</sup>, Navid Mollaramezani<sup>2</sup>, Mehrdad Motallebpouralishahi<sup>1</sup>

1- Department of Mechanical Engineering, Islamic Azad University, Central Tehran Branch, Tehran, Iran

2- Department of Mechanical Engineering, Tarbiat Modares University, Tehran, Iran

\*Tehran, P.O.B. 28598, beh.jabbaripour@iauctb.ac.ir

### ABSTRACT

The application of intermetallic compound of  $\gamma$ -TiAl has been considered in aerospace, automotive, jet and turbine manufacturing industries due to its low density, high modulus of elasticity, high resistance against oxidation, corrosion, ignition and suitable tensile and creep strength in high temperature environments. Researches on machining of titanium aluminide intermetallic compound indicate that these materials are difficult to cut in a traditional way. So, other non-traditional processes such as Electrical Discharge Machining (EDM) can be used for machining of these compounds. In this investigation, one level of pulse current and pulse on time was considered as the main constant parameters. The Powder Mixed Electrical Discharge Machining (PMEDM) tests were performed with respect to the different levels of aluminum powder particle sizes and concentrations in the dielectric fluid. The main aim of the study is to determine the optimum powder size and concentration while considering the output characteristics of the process such as material removal rate, tool wear ratio and roughness of the machined surface. The results showed that powder mixed electrical discharge machining at optimum conditions will lead to 68 % increase in material removal rate, 45% decrease in surface roughness and 67% decrease in tool wear ratio compared to the circumstances where no powder (EDM) was used.

**Keywords:** Electrical Discharge Machining (EDM), Material Removal Rate, Powder,  $\gamma$ -TiAl, Tool Wear Ratio.

آلومیناید می‌باشد [۳,۲]. علی‌رغم انتشارات گسترده در زمینه توسعه فرآیندهای ریخته‌گری، عملیات حرارتی، رفتار خستگی، ریزساختار، خواص مکانیکی، اکسیداسیون و مقاومت حرارتی این ترکیبات، اطلاعات و گزارش‌های اندکی در مورد فرآیندهای ماشین‌کاری این ترکیبات اعم از سنتی و غیر سنتی وجود دارد، تا حد زیادی این امر وضعیت خاص این ماده، قابلیت دسترسی و اهمیت تجاری آن را نشان می‌دهد [۴].

ماشین‌کاری تخلیه الکتریکی (EDM) یک فرآیند برآمدبرداری غیرسنتی متداول می‌باشد. از مزایای این فرآیند، قابلیت برآمدبرداری مواد سخت

### ۱- مقدمه

در سال‌های اخیر تلاش‌های قابل ملاحظه‌ای جهت توسعه آلیاژهای پایه  $\gamma$ -TiAl برای استفاده در کاربردهای سازه‌ای با دمای کاری بالا که دارای دانسیته پایین، مقاومت بالا و مدول یانگ مناسب هستند، انجام شده است. با توجه به این خواص، ترکیبات بین‌فلزی تیتانیوم آلومیناید جایگزین سوپر آلیاژهای پایه نیکل سنگین‌تر می‌گردند که باید در دمای کاری نسبتاً بالا (حدود ۷۰۰ درجه سانتی‌گراد) ایفای نقش کند [۱]. هرچند تردی و شکل‌ذییری ضعیف ذاتی آن در دمای محیط، از معایب اصلی ترکیبات بین‌فلزی تیتانیوم برای ارجاع به این مقاله از عبارت ذیل استفاده نمایند:

B. Jabbaripour, N. Mollaramezani, M. Motallebpouralishahi, Experimental Investigation of Powder Mixed Electrical Discharge Machining (PMEDM) on Intermetallic Compound  $\gamma$ -TiAl, *Modares Mechanical Engineering, Proceedings of the Advanced Machining and Machine Tools Conference*, Vol. 15, No. 13, pp. 354-359, 2015 (in Persian)

افزایش غلظت منجر به کاهش نرخ براده‌برداری می‌گردد و همچنین با افزایش غلظت پودر آلومینیوم تا یک حد خاص، نرخ سایش ابزار کاهش می‌یابد و بعد از آن با افزایش غلظت، نرخ سایش ابزار افزایش می‌یابد. وانگ و همکارانش [۸] جهت ماشین کاری تخلیه الکتریکی سطح قطعه کار فولادی SKH-54 از ۳ نوع پودر گرافیت، سیلیکون و سولفید مولیبدن استفاده نمودند و نشان دادند که با تغییر نوع پودر تحت شرایط ماشین کاری یکسان می‌توان سطوحی کاملاً متفاوت به دست آورد و انتخاب نوع مناسب پودر در بهبود کیفیت سطح، پسیار حائز اهمیت است. پیکاس و هنریکس [۹] اثر تغییرات غلظت پودر سیلیکون در سیال دی‌الکتریک و تغییرات دی جریان سیال و همچنین تغییرات سطح الکترود ابزار را بر روی کیفیت سطح فولاد AISI H13 در هنگام فرآیند ماشین کاری به کمک پودر بررسی نمودند. افزایش غلظت سیلیکون از صفر تا ۲ گرم بر لیتر سبب کاهش زیری سطح می‌شود، هرچند با افزایش بیشتر غلظت، مقدار زیری سطح افزایش می‌یابد.

براساس آخرین اطلاعات نویسنده‌گان مقاله حاضر، تاکنون به غیر از انتشارات سابق محققان این مطالعه [۱۱، ۱۰] هیچ‌گونه کار تحقیقاتی در مورد فرآیند ماشین کاری تخلیه الکتریکی به کمک پودر و یا حتی فرآیند ماشین کاری تخلیه الکتریکی غوطه‌وری در سیال در مورد آلیاژ TiAl-7-گراش نشده است و هیچ‌گونه جداول و اطلاعات تکنولوژیکی برای فرآیند ماشین کاری تخلیه الکتریکی این ترکیب بر اهمیت و مدرن در صنعت وجود ندارد. بنابراین نیاز است تا اطلاعات تکنولوژیکی را برای ماشین کاری بهینه این ترکیب بین فلزی توسعه داد. در این تحقیق با در نظر گرفتن یک سطح جریان و زمان روشی پالس به عنوان پارامترهای اصلی ثابت، آزمایشات ماشین کاری بدون پودر و به کمک پودر آلومینیوم به ارزی سطوح مختلف اندازه ذرات و غلظت ذرات پودر انجام می‌گردد، تا مقدار غلظت و اندازه ذرات بهینه پودر با در نظر گرفتن مشخصات خروجی فرآیند مانند نرخ براده‌برداری، نرخ سایش ابزار و زیری سطح تعیین گردد.

## ۲- مواد اولیه، تجهیزات و طراحی آزمایشات

برای نمونه‌های قطعه کار از ترکیب بین فلزی γ-TiAl (Ti-53Al (at. %)) استفاده گردید. (چگالی نمونه Al-7-TiAl γ مورد استفاده برابر با  $3.78 \text{ g/cm}^3$  می‌باشد). با استفاده از واپرکات نمونه‌های مکعبی شکل به ابعاد  $10 \times 10 \times 10 \text{ mm}$  می‌باشد. میلی‌متر از شمش ریخته‌گری شده، بریده شدند. از الکترودهای مسی استوانه ای شکل به قطر  $18 \text{ mm}$  میلی‌متر و طول  $40 \text{ mm}$  میلی‌متر به عنوان ابزار استفاده شده است. (چگالی الکترودهای مس مورد استفاده برابر با  $8.92 \text{ g/cm}^3$  می‌باشد).

در شکل ۲-الف و ۲-ب، به ترتیب تصاویر تعدادی از نمونه‌های قطعه کار γ-TiAl و همچنین الکترودهای ابزار مسی استفاده شده در طی آزمایش‌های ماشین کاری نشان داده است.

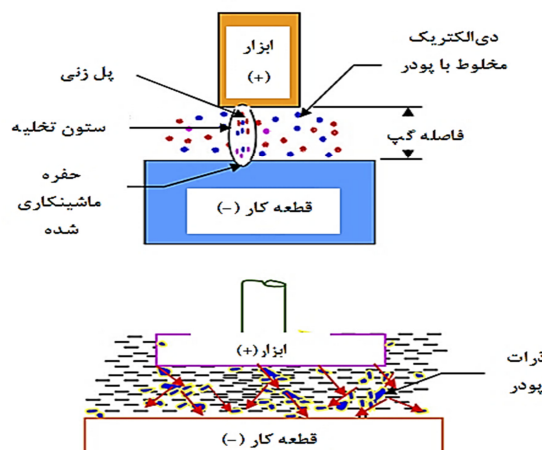
تمامی آزمایشات ماشین کاری بر روی ماشین اسپارک CNC مدل CHARMILLES ROBOFORM 200 که به یک ژنراتور آبزپالس مجهز است، انجام گردیده است. تغییرات وزن الکترودهای ابزار و نمونه‌های قطعه کار، قبل و بعد از ماشین کاری بوسیله ترازوی دیجیتال (CP224S-Surtorius) با دقت  $0.0001 \text{ g}$  و زیری سطح بوسیله دستگاه زیری‌سنج (Mahr M2) Perthometer با دقت  $0.001 \text{ micrometer}$  اندازه‌گیری شده است.

پارامترهای مورد استفاده در آزمایشات ماشین کاری بدون پودر و ماشین کاری به کمک پودر، در جدول ۱ ارائه شده‌اند. جهت انجام آزمایشات اشاره شده، نیاز است تا از پودر با غلظت‌ها و اندازه‌های مختلف استفاده شود. در صورتی که لازم باشد دائم سیال دی‌الکتریک در مخزن اصلی دستگاه

ماشین کاری شونده می‌باشد [۵]. از مشکلات موجود در ماشین کاری تخلیه الکتریکی، افزایش زبری سطح ماشین کاری شده با افزایش جریان، پایین بودن نرخ براده‌برداری، ناپایداری فرآیند ماشین کاری تحت حالاتی خاص و ایجاد انواع عیوب سطحی و زیرسطحی در قطعه ماشین کاری شده می‌باشد. یکی از روش‌های بهبود مشخصه‌های خروجی فرآیند EDM، روش افزودن پودر رسانا و یا نیمه‌رسانا به سیال دی‌الکتریک و انجام ماشین کاری تخلیه الکتریکی می‌باشد که این فرآیند به اختصار PMEDM نامیده شده است [۶]. هنگامی که ولتاژ  $80-320 \text{ V}$  ولت بین الکترودها برقرار می‌شود، میدان الکتریکی  $10^{-5} \text{ A}$  ولت بر متر ایجاد می‌شود. در اثر افزودن پودر در حد فاصل دو الکترود ابزار و قطعه کار، فاصله گپ افزایش می‌یابد [۷]. به دلیل وجود اختلاف پتانسیل و ایجاد میدان الکتریکی بین دو الکترود، ذرات پودر دارای اثری جنبشی می‌شوند و حرکت زیگزاگی می‌کنند، ذرات پودر به هم نزدیک می‌شوند و گاهًا حالت خوش‌های می‌گیرند. تحت تاثیر نیروهای الکتریکی، بعضی از ذرات پودر باردار شده، به یکدیگر می‌چسبند و حالت زنجیره‌ای می‌گیرند و پلهایی بین الکترودها برقرار می‌سازند که در شکل ۱ به صورت شماتیک نشان داده شده است.

به دنبال آن ولتاژ گپ و مقاومت شکست سیال دی‌الکتریک کاهش می‌یابد، در نتیجه سبب تخلیه الکتریکی زود هنگام در گپ می‌شود و باعث می‌شود تخلیه الکتریکی سلسه‌واری بر روی سطح الکترود انجام شود و چون نسبت به حالت ماشین کاری تخلیه الکتریکی متداول، فرکانس جرقه‌زنی افزایش یافته است، سبب گسترش بیشتر کانال پلاسمای می‌گردد و دانسیته اثری الکتریکی هر جرقه نیز کاهش می‌یابد، در نتیجه سطح حاصل یکنواخت‌تر و حفره‌های ماشینکاری شده کم عمق‌تر هستند [۸].

ترنگ و چن [۶] جهت بهبود کیفیت سطح ماشین کاری شده قطعه کار SKD-11 از چهار نوع پودر سیلیکون کارباید، مس، کروم و آلومینیوم استفاده کردن و به این نتیجه رسیدند که افزودن پودر آلومینیوم به دی‌الکتریک، ضخامت لایه انجام مجدد حاصل از ماشین کاری را به طور محسوسی کاهش می‌دهد. کانگ و همکارانش [۷] اثر چهار پارامتر اندازه ذرات پودر، غلظت ذرات پودر، جریان و زمان روشی پالس را بر روی نرخ براده‌برداری و نرخ سایش ابزار در حین ماشین کاری قطعه کار تنگستن کارباید، به کمک پودر آلومینیوم بررسی نمودند. آن‌ها با بررسی نتایج تجربی بیان داشتند که با افزایش غلظت پودر، نرخ براده‌برداری افزایش می‌یابد و بعد از حد معین،



شکل ۱ نمایش شماتیک مکانیزم ماشین کاری تخلیه الکتریکی به کمک پودر [۶]

تنهیشین شدن ذرات پودر در کف مخزن کاهش باید. در شکل ۳، تجهیزات ماشین کاری تخلیه الکتریکی به کمک پودر شامل نحوه قرار گیری مخزن ماشین کاری درون مخزن اصلی دستگاه اسپارک و نحوه قرار گیری پمپ‌ها، اتصالات، گیره و هلگر، درون این مخزن نشان داده است.

در این تحقیق برای آزمایشات ماشین کاری (PMEDM) با توجه به سطوح در نظر گرفته شده در جدول ۱ برای اندازه ذرات و غلظت ذرات پودر آلمونیوم، به روش عاملی کامل طراحی آزمایشات انجام شده است.

به دلیل در نظر گرفتن ۳ سطح برای اندازه ذرات و ۳ سطح برای غلظت ذرات، تعداد آزمایشات ۹ عدد می‌باشد. در جدول ۲ پارامترهای ورودی و نتایج حاصل از آزمایش‌های ماشین کاری PMEDM و همچنین مقادیر خروجی برای مالت ماشین کاری بدون پودر (مجموعاً ۱۰ حالت آزمایشی) ارائه گردیده‌اند.



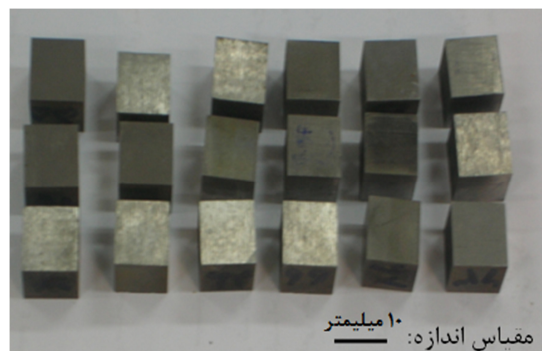
لف) نحوه قرارگیری مخزن و پیزه ماشین کاری درون مخزن اصلی دستگاه



شکل ۳ تجهیزات مورد استفاده در آزمایشات ماشین کاری تخلیه الکتریکی به کمک پودر

## جدول ۲ شرایط ورودی فرآیند و نتایج حاصل از آزمایش‌های ماشینکاری EDM و PMEDM

ردیف	حالت	آزمایش	غلظت پودر (g/l)	اندازه ذرات (μm)	نرخ سایش ابزار	نرخ براده برداری	زبری سطح (μm)	Ra
۱	PMEDM	PMEDM	۲	۲	۱۱/۵۵۷۴	۰/۱۹۷۴	۴/۴۶۳	۴/۴۶۳
۲	PMEDM	PMEDM	۲	۲۰	۹/۹۲۵۳	۰/۱۵۸۸	۴/۲۴۱	۴/۲۴۱
۳	PMEDM	PMEDM	۲	۶۳	۶/۴۸۶۹	۰/۰۷۹۵	۲/۷۵۹	۲/۷۵۹
۴	PMEDM	PMEDM	۴	۲	۱۳/۲۶۸۳	۰/۱۷۰۱	۳/۰۵۱	۳/۰۵۱
۵	PMEDM	PMEDM	۴	۲۰	۱۰/۳۷۹۶	۰/۱۳۰۴	۲/۶۸۲	۲/۶۸۲
۶	PMEDM	PMEDM	۴	۶۳	۵/۴۷۶۲	۰/۱۱۸۳	۴/۰۴۹	۴/۰۴۹
۷	PMEDM	PMEDM	۸	۲	۱۱/۹۳۰۲	۰/۲۹۱۳	۳/۷۳۷	۳/۷۳۷
۸	PMEDM	PMEDM	۸	۲۰	۶/۳۲۴۳	۰/۲۷۰۵	۴/۵۷۸	۴/۵۷۸
۹	PMEDM	PMEDM	۸	۶۳	۴/۱۳۶۶	۰/۱۹۳۲	۴/۹۴۳	۴/۹۴۳
۱۰	EDM		---	---	۷/۸۷۷۵	۰/۲۴۷۵	۵/۵۷۶	۵/۵۷۶



الف) بخی از نمونه‌های قطعه‌کار از حنس  $\gamma\text{-TiAl}$



**شکل ۲** تصاویر تعدادی از نمونه‌های قطعه‌کار و الکترودهای ابزار به کار رفته در آزمایشات مشترک‌گایی،

#### **حدفا ۱. بامثهای و مدعی ماشیت تحریر**

پارامترهای ورودی	ماشین کاری تخلیه کتریکی (EDM)	ماشین کاری تخلیه	پارامترهای ورودی
(PMEDM)	(EDM)	(EDM)	(A)
جریان پالس	جریان پالس (A)	جریان پالس	جریان پالس (A)
زمان روشنی پالس (μs)	زمان روشنی پالس (μs)	زمان روشنی پالس (μs)	زمان روشنی پالس (μs)
ولتاژ مدار باز (V)	ولتاژ مدار باز (V)	ولتاژ مدار باز (V)	ولتاژ مدار باز (V)
ولتاژ ماشین کاری (V)	ولتاژ ماشین کاری (V)	ولتاژ ماشین کاری (V)	ولتاژ ماشین کاری (V)
زمان خاموشی پالس (μs)	زمان خاموشی پالس (μs)	زمان خاموشی پالس (μs)	زمان خاموشی پالس (μs)
قطعه کار (-)	قطعه کار (-)	قطعه کار (-)	قطعه کار (-)
الکترود ابزار (+)	الکترود ابزار (+)	الکترود ابزار (+)	الکترود ابزار (+)
زمان ماشین کاری (min)	زمان ماشین کاری (min)	زمان ماشین کاری (min)	زمان ماشین کاری (min)
سیال دی کتریک	نفت سفید	نفت سفید	سیال دی کتریک
انواع پودر	-----	نفت سفید	انواع پودر
اندازه ذرات پودر (μm)	-----	-----	اندازه ذرات پودر (μm)
غلاظت ذرات پودر (g/l)	-----	-----	غلاظت ذرات پودر (g/l)
آلومینیوم	نفت سفید + پودر	نفت سفید + پودر	آلومینیوم
۶۳، ۲۰، ۲	-----	-----	۶۳، ۲۰، ۲
۸، ۴، ۲	-----	-----	۸، ۴، ۲

اسپارک (با حجم حدود ۳۰۰ لیتر) تعویض شود و دور ریخته شود، از لحاظ اقتصادی هزینه‌های زیادی را به بار می‌آورد. برای حل این مشکل، در این تحقیق مخزن ماشین کاری ساده و کوچکی طراحی و ساخته شده است، به گونه‌ای که این سیستم و تجهیزات باید بتواند سیال دی‌الکتریک را به محل گپ بین دو الکترود با فشار مناسب پمپ کند و سبب گردش منظم سیال دی‌الکتریک بههمراه پودر معلق در آن، به موضع ماشین کاری شود و همچنین به صورت خودکار و ملايم سیال دی‌الکتریک در مخزن ویژه هم زده شود تا اطمینان بیشتر از همگن بودن غلت پودر در سیال حاصل شود و احتمال

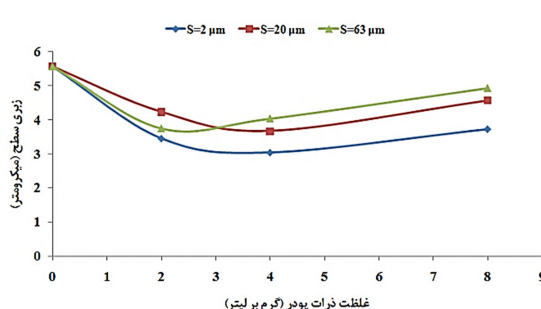
افزایش چشمگیری داشته است. در حالی که قابلیت توزیع و پخش جرقه توسط ذرات بزرگتر و سنتگین تر پودر کمتر است و همین امر منجر به کاهش نرخ برادهبرداری بهازای اندازه ذرات ۶۳ میکرومتر برای تمام غلظت‌ها شده است.

از طرف دیگر مطابق شکل ۴ می‌توان به این نتیجه کلی رسید که با افزایش اندازه ذرات پودر و با افزایش غلظت ذرات پودر بعد از یک حد بهینه، حرارت بیشتری از درون کاتال پلاسما توسط ذرات پودر به بیرون از ناحیه گپ انتقال پیدا کند. انتقال حرارت کاتال پلاسما، سبب کمتر شدن دانسیته تخلیه الکتریکی روی سطح قطعه کار می‌شود. سیستم سرو کنترل دستگاه در غلظت‌ها و اندازه ذرات بالا برای جلوگیری از نایابی‌های تخلیه الکتریکی بیشتر، فاصله گپ بین دو الکترود را افزایش می‌دهد. اگرچه با افزایش فاصله گپ، شستشوی براده‌های حاصل از ماشین کاری در فاصله گپ بین ابزار و قطعه کار به طور موثرتری انجام می‌شود و احتمال بروز اتصال کوتاه کاهش می‌یابد ولی منجر به کاهش توان موثر پالس‌های تخلیه الکتریکی می‌شود و در نتیجه نرخ برادهبرداری از سطح قطعه کار نیز کاسته می‌شود.

### ۳-۲- بررسی زیری سطح

همان‌طور که در شکل ۵ مشخص است، مقادیر زیری سطح به ازای تغییرات اندازه ذرات پودر و غلظت ذرات پودر آلومینیوم در سیال دی‌الکتریک ارائه شده است. مشاهده می‌شود که بهازای تمام اندازه ذرات پودر آلومینیوم آزمایش شده، با افزایش غلظت ذرات پودر، زیری سطح در ابتدا کاهش می‌یابد و بعد از یک حد بهینه‌ای مجدداً زیری سطح افزایش می‌یابد. مقدار غلظت بهینه پودر برای کاهش زیری سطح، به ازای اندازه ذرات ۲ و ۲۰ میکرومتر مقدار ۴ گرم بر لیتر می‌باشد، در حالی که مقدار غلظت بهینه پودر برای کاهش زیری سطح، به ازای اندازه ذرات ۶۳ میکرومتر مقدار ۲ گرم بر لیتر می‌باشد.

با افزوده شدن ذرات پودر آلومینیوم به دون کاتال پلاسما، مقاومت شکست سیال دی‌الکتریک کاهش می‌یابد، بنابراین سیستم سروکنترل دستگاه به منظور ایجاد شرایط پایدارتر تخلیه الکتریکی، نسبت به حالت ماشین کاری متدالون EDM، فاصله گپ بین دو الکترود را افزایش می‌دهد. کاتال تخلیه الکتریکی بزرگتر و پهن‌تر منجر به کاهش دانسیته توان الکتریکی در موضع تخلیه الکتریکی می‌شود و در نتیجه حفره‌های کم عمق‌تری روی سطح ماشین کاری شده ایجاد می‌گردد یا به عبارت دیگر زیری سطح کاهش می‌یابد. با توجه به شکل ۵ دیده می‌شود که پودر آلومینیوم با اندازه ذرات ۲ میکرومتر و در غلظت ۴ گرم بر لیتر، منجر به کاهش ۴۵٪ زیری سطح نسبت به حالت بدون پودر (غلظت ۰ گرم بر لیتر) شده است و همچنین پودر آلومینیوم با اندازه ذرات ۲۰ میکرومتر و در غلظت ۴ گرم بر لیتر، منجر به کاهش ۳۴٪ زیری سطح نسبت به حالت بدون پودر شده است و پودر با اندازه



شکل ۵ زیری سطح بهازای تغییرات غلظت و اندازه پودر در آزمایشات PMEDM

### ۳- بحث و بررسی

#### ۳-۱- بررسی نرخ برادهبرداری

در اینجا به بررسی و تحلیل نتایج تجربی مقادیر نرخ برادهبرداری پرداخته می‌شود. همان‌طور که در شکل ۴ مشخص است، مقادیر نرخ برادهبرداری به ازای تغییرات اندازه ذرات پودر و غلظت ذرات پودر آلومینیوم در سیال دی‌الکتریک ارائه شده است. برخی از خواص مهم فیزیکی و ترموفیزیکی پودر آلومینیوم، در جدول ۳ ارائه شده است. به ازای پودر آلومینیوم با اندازه ذرات ۲ میکرومتر و ۲۰ میکرومتر، با افزایش غلظت ذرات پودر در سیال دی‌الکتریک، در ابتدا نرخ برادهبرداری افزایش و سپس کاهش می‌یابد، در حالی که برای پودر آلومینیوم با اندازه ذرات ۶۳ میکرومتر، با افزایش غلظت ذرات پودر در سیال دی‌الکتریک، نرخ برادهبرداری کاهش می‌یابد.

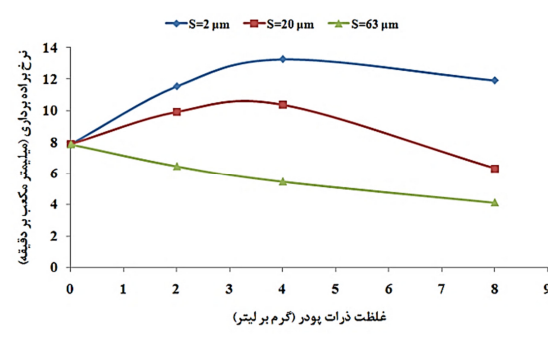
در فرآیند ماشین کاری تخلیه الکتریکی به کمک پودر، چون نسبت به حالت EDM متداول، فرکانس جرقه‌زنی افزایش یافته است، نرخ برادهبرداری می‌تواند افزایش یابد. در حالی که عدم حضور ذرات پودر نقشی در افزایش فرکانس جرقه‌زنی ندارد، تجمع و غلظت بیش از حد ذرات پودر در فاصله گپ بین دو الکترود می‌تواند منجر به نایابی‌ارای شرایط تخلیه الکتریکی گردد و درصد پالس‌های منجر به آرک و اتصال کوتاه در میان کل پالس‌های ماشین-کاری افزایش می‌یابد بهمین دلیل نرخ برادهبرداری در غلظت‌های بالاتر می‌تواند کاهش یابد [۷].

با توجه به شکل ۴ دیده می‌شود که پودر آلومینیوم با اندازه ذرات ۲ میکرومتر و در غلظت ۴ گرم بر لیتر، منجر به افزایش ۶۸٪ نرخ برادهبرداری نسبت به حالت بدون پودر (غلظت ۰ گرم بر لیتر) شده است و همچنین پودر آلومینیوم با اندازه ذرات ۲۰ میکرومتر و در غلظت ۴ گرم بر لیتر، منجر به افزایش ۳۲٪ نرخ برادهبرداری نسبت به حالت بدون پودر شده است.

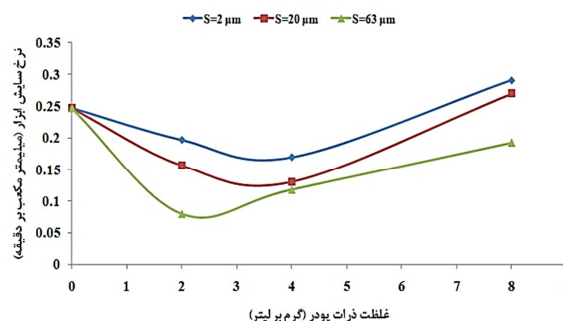
ذرات پودر رسانا که در فاصله گپ بدلیل میدان الکتریکی بین دو الکترود، حرکت جنبشی دارند، سبب توزیع تخلیه الکتریکی در محدوده گستره‌های می‌شوند، ذرات پودر با اندازه ۲ میکرون به دلیل سبکتر بودن نسبت به ذرات پودر با اندازه ۲۰ و ۶۳ میکرون راحت‌تر می‌توانند در فضای گپ بین دو الکترود حرکت کنند و سبب توزیع بیشتر تخلیه الکتریکی یا به عبارتی افزایش فرکانس جرقه‌زنی می‌گردند و بهمین دلیل نرخ برادهبرداری

جدول ۳ خواص فیزیکی و ترموفیزیکی پودر آلومینیوم [۱۲]

خاص	دانسیته	رسانش حرارتی	رسانش الکتریکی	نقطه ذوب (°C)
خواص	(g/cm <sup>3</sup> )	(W/cm.K)	(μm)	(°C)
مقدار	۲/۷۳	۲/۳۷	۰/۳۷۷	۶۶.



شکل ۴ نرخ برادهبرداری بهازای تغییرات غلظت و اندازه ذرات پودر در آزمایشات PMEDM



شکل ۶ نرخ سایش ابزار به ازای تغییرات غلظت و اندازه پودر در آزمایشات PMEDM

میکرون حاصل می‌گردد. این امر به نوعی متناظر و مطابق با شکل ۴ است، زیرا که ذرات پودر با اندازه ۲ میکرون به دلیل سبکتر بودن نسبت به ذرات پودر با اندازه ۲۰ و ۶۳ میکرون راحتتر می‌توانند در فضای گپ بین دو الکترود حرکت کنند و سبب توزیع بیشتر تخلیه الکتریکی یا به عبارتی افزایش فرکانس جرقه‌زنی می‌گردند و به همین دلیل نرخ براده‌برداری افزایش چشمگیری داشته است. در حالی که قابلیت توزیع و پخش جرقه توسط ذرات بزرگ‌تر و سنگین‌تر پودر کمتر است و همین امر منجر به کاهش نرخ براده‌برداری به ازای اندازه ذرات ۶۳ میکرومتر برای تمام غلظت‌ها شده است.

#### ۴- نتیجه‌گیری

به ازای پودر آلومینیوم با اندازه ذرات ۲ و ۲۰ میکرون، با افزایش غلظت پودر در سیال دی‌الکتریک، در ابتدا نرخ براده‌برداری افزایش و سپس کاهش می‌یابد، ولی برای پودر آلومینیوم با اندازه ذرات ۶۳ میکرون، با افزایش غلظت پودر، نرخ براده‌برداری کاهش می‌یابد. ذرات پودر با اندازه ۲ میکرون به دلیل سبکتر بودن نسبت به ذرات پودر با اندازه ۲۰ و ۶۳ میکرون و توزیع راحت‌تر در فاصله بین الکترودها، فرکانس جرقه‌زنی را بیشتر افزایش می‌دهند و به همین دلیل نرخ براده‌برداری افزایش چشمگیرتری دارد. به ازای تمام اندازه‌های پودر، با افزایش غلظت، زبری سطح و نرخ سایش ابزار در ابتدا کاهش می‌یابد و بعد از یک حد بهینه مجدداً افزایش می‌یابد. پودر آلومینیوم در شرایط آزمایش شده و بهینه، منجر به افزایش ۶۸٪ نرخ براده‌برداری، کاهش ۴۵٪ زبری سطح و کاهش ۶۷٪ نرخ سایش ابزار نسبت به حالت بدون پودر (EDM) شده است.

#### ۵- مراجع

- [1] F. Appel, U. Broßmann, U. Christoph, S. Eggert, P. Janschek, U. Lorenz, Recent Progress in the Development of Gamma Titanium Aluminide Alloys, *Advanced Engineering Materials*, Vol. 2, No. 11, pp. 699-720, 2000.
- [2] T. Tetsui, Application of TiAl in a Turbocharger for Passenger Vehicles, *Advanced Engineering Materials*, Vol. 3, No. 5, pp. 307-310, 2001.
- [3] D. Aspinwall, R.C. Dewes, A.L. Mantle, The Machining of  $\gamma$ -TiAl Intermetallic Alloys, *CIRP Annals-Manufacturing Technology*, Vol. 54, pp. 99-104, 2005.
- [4] H.K. Kansal, S. Singh, P. Kumar, Parametric Optimization of Powder Mixed Electrical Discharge Machining by Response Surface Methodology, *Materials Processing Technology Journal*, Vol. 169, pp. 427-436, 2005.
- [5] H.K. Kansal, S. Singh, P. Kumar, Numerical Simulation of Powder Mixed Electrical Discharge Machining (PMEDM) Using Finite Element Method, *Mathematical and Computer Modeling*, Vol. 47, pp. 1217-1237, 2008.
- [6] Y. Tzeng, F. Chen, Investigation Into Some Surface Characteristics of Electrical Discharge Machined SKD-11 Using Powder-Suspension dielectric oil, *Journal of Materials Processing Technology*, Vol. 170, pp. 385-391, 2005.
- [7] K. Kung, J. Horng, K. Chiang, Material Removal Rate and Electrode Wear Ratio Study on the Powder Mixed Electrical Discharge Machining of Cobalt-Bonded Tungsten Carbide, *International Journal of Manufacturing Technology*, Vol. 40, pp. 95-104, 2007.
- [8] Y. Wong, L.C. Lim, I. Rahuman, W.M. Tee, Near-Mirror Finish

ذرات ۶۳ میکرومتر و در غلظت ۲ گرم بر لیتر، منجر به کاهش ۳۲٪ زبری سطح نسبت به حالت بدون پودر شده است.

نتایج تجربی در شکل ۵ نشان می‌دهد که برای انواع پودرهای آلومینیوم با اندازه ذرات ۲ و ۲۰ میکرون، غلظت پودر ۴ گرم بر لیتر نسبت به سایر غلظت‌ها، منجر به بیشترین افزایش در صافی سطح نمونه‌های ماشین کاری شده TiAl می‌شود، در حالی که برای پودر آلومینیوم با اندازه ذرات ۶۳ میکرون، غلظت ۲ گرم بر لیتر نسبت به دیگر غلظت‌ها منجر به تولید بهترین صافی سطح در نمونه‌های ماشین کاری شده می‌گردد. افزایش اندازه ذرات پودر منجر به افزایش جرم ذرات در پک غلظت معین می‌گردد، در نتیجه حجم کمتری از این پودر در فاصله گپ ماشین کاری به حالت تعليق در می‌آید و در نتیجه نمی‌تواند مقدار قابل توجهی حرارتی تولید شده در اثر تخلیه الکتریکی را به خارج از گپ هدایت کند. از طرف دیگر، جرم بیشتر ذرات پودر بزرگ‌تر (به طور مثال ذرات پودر ۶۳ میکرونی) مانع دیگر برای تعليق و توزیع پکنواخت این ذرات در اثر فشار جانبی سیال دی‌الکتریک در ناحیه گپ بین دو الکترود است و سبب تهشیین سریع تر این نوع پودرهای در ته مخزن ماشین کاری می‌شود، در نتیجه ذرات پودر بزرگ‌تر به طور نسبی، سهم کمتری در افزایش صافی سطح ماشین کاری شده خواهد داشت.

#### ۳-۳- بررسی نرخ سایش ابزار

در شکل ۶ مقادیر نرخ سایش ابزار به ازای تغییرات اندازه ذرات و غلظت پودر آلومینیوم در سیال دی‌الکتریک نشان داده شده است. به ازای تمام اندازه ذرات پودر آلومینیوم آزمایش شده، با افزایش غلظت ذرات پودر، نرخ سایش ابزار در ابتدا کاهش می‌یابد و بعد از یک حد بهینه‌ای مجدداً نرخ سایش ابزار افزایش می‌یابد. غلظت بهینه پودر برای کاهش نرخ سایش ابزار، به ازای اندازه ذرات ۲ و ۲۰ میکرونی، مقدار ۴ گرم بر لیتر می‌باشد، در حالی که غلظت بهینه پودر برای کاهش نرخ سایش ابزار، به ازای اندازه ذرات ۶۳ میکرونی مقدار ۲ گرم بر لیتر می‌باشد.

با توجه به شکل ۶ دیده می‌شود که پودر آلومینیوم با اندازه ذرات ۲ میکرومتر و در غلظت ۴ گرم بر لیتر، منجر به کاهش ۳۱٪ نرخ سایش ابزار نسبت به حالت بدون پودر (غلظت ۰ گرم بر لیتر) شده است و همچنین پودر آلومینیوم با اندازه ذرات ۲۰ میکرومتر و در غلظت ۴ گرم بر لیتر، منجر به کاهش ۴۷٪ نرخ سایش ابزار نسبت به حالت بدون پودر شده است و پودر با اندازه ذرات ۶۳ میکرومتر و در غلظت ۲ گرم بر لیتر، منجر به کاهش ۶۷٪ نرخ سایش ابزار نسبت به حالت بدون پودر شده است.

با افزودن ذرات پودر به سیال دی‌الکتریک، به دلیل کاهش مقاومت شکست دی‌الکتریک سیال، فاصله گپ بین الکترود ابزار و قطعه کار افزایش می‌یابد و در نتیجه کانال پلاسمای گستردگر و بزرگ‌تر می‌شود و در نتیجه ارزی حرارتی حاصل از فرآیند تخلیه الکتریکی در فضای گستردگری توزیع می‌شود که این امر منجر به کاهش دانسیته توان الکتریکی می‌گردد و براده‌برداری را از سطح الکترود ابزار کاهش می‌دهد و منجر به کاهش نرخ سایش ابزار می‌شود. با افزودن ذرات پودر به سیال دی‌الکتریک، ذرات رسانای افزوده شده حرارت بیشتری را به بیرون از فاصله گپ بین ابزار و قطعه کار منتقل می‌کنند، که این امر نیز منجر به کاهش توان تخلیه الکتریکی روی سطح الکترود ابزار می‌شود و نرخ سایش ابزار را کاهش می‌دهد.

همان‌طور که در شکل ۶ دیده می‌شود، به ازای تمام غلظت‌های پودر آلومینیوم در سیال دی‌الکتریک، کمترین مقدار نرخ سایش ابزار به ازای اندازه ذرات ۶۳ میکرون و بیشترین مقدار نرخ سایش ابزار به ازای اندازه ذرات ۲

- PMEDM of  $\gamma$ -TiAl Intermetallic, *Journal of Manufacturing Processes*, Vol. 15 , pp. 56-68, 2013.
- [11] B. Jabbaripour, M.H. Sadeghi, M.R. Shabgard, Sh. Shajari, H. Hassanpour, Investigating the Effects of Powder Mixed Electrical Discharge Machining on the Surface Quality of  $\gamma$ -TiAl Intermetallic, *Journal of Advanced Materials Research*, Vol. 488, pp. 396-401, 2012.
- [12] Lide D.R., *CRC Handbook of Chemistry and Physics*, 90 th Edition, Springer London Publication, CR-Rom Version 2010, pp. 1147-1169.
- Phenomenon in EDM Using Powder Mixed Dielectric, *Journal of Materials Processing Technology*, Vol. 79, pp. 30-40, 1998.
- [9] P. Pecas, E. Henriques, Effect of The Powder Concentration and Dielectric Flow in the Surface Morphology in Electrical Discharge Machining with Powder-Mixed Dielectric, *International Journal of Manufacturing Technology*, Vol. 37, pp. 1120-1132, 2008.
- [10] B. Jabbaripour, M.H. Sadeghi, M.R. Shabgard, H. Faraji, Investigating Surface Roughness, Material Removal Rate and Corrosion Resistance in